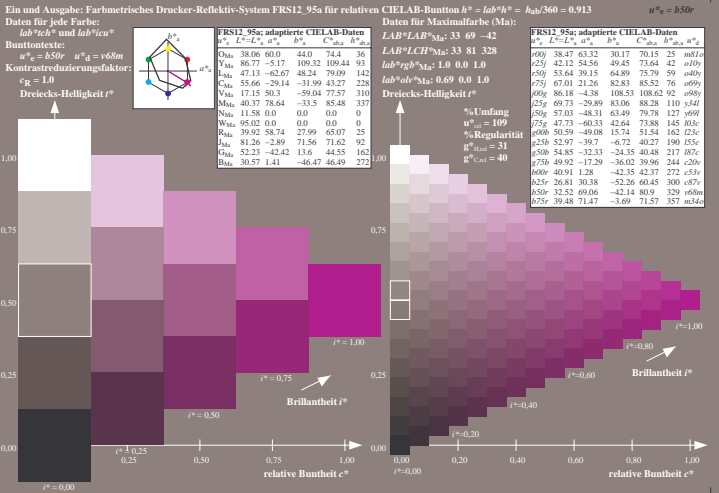
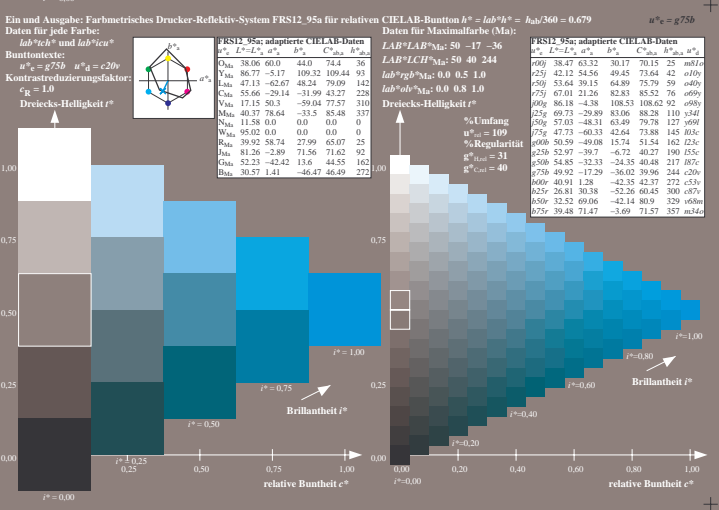
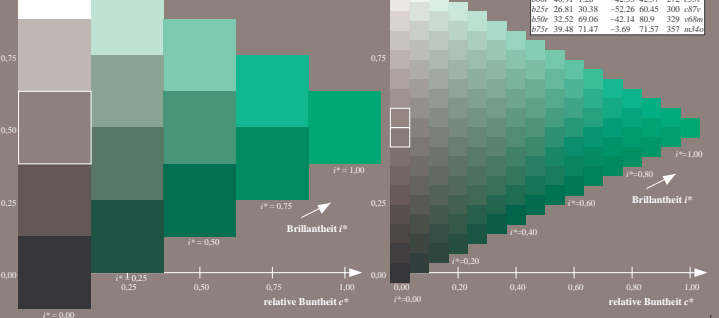
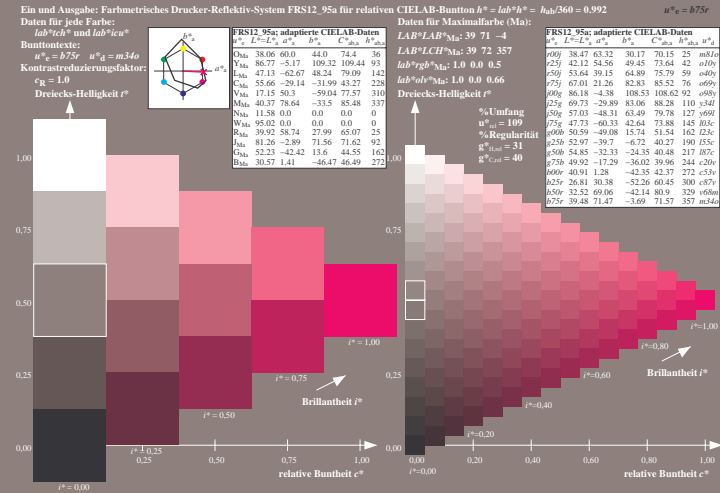
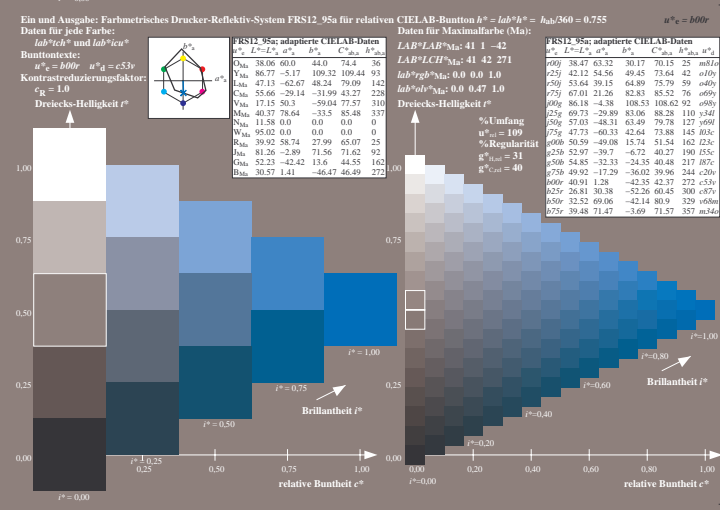
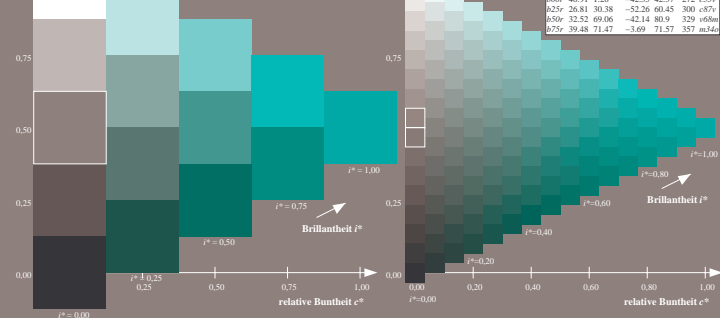


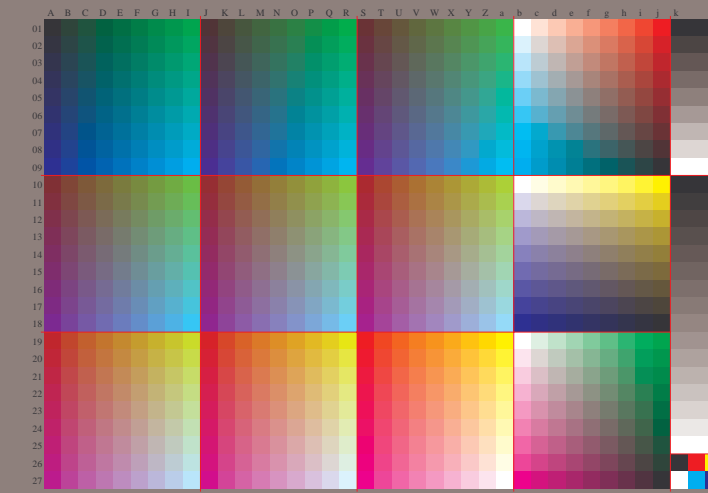
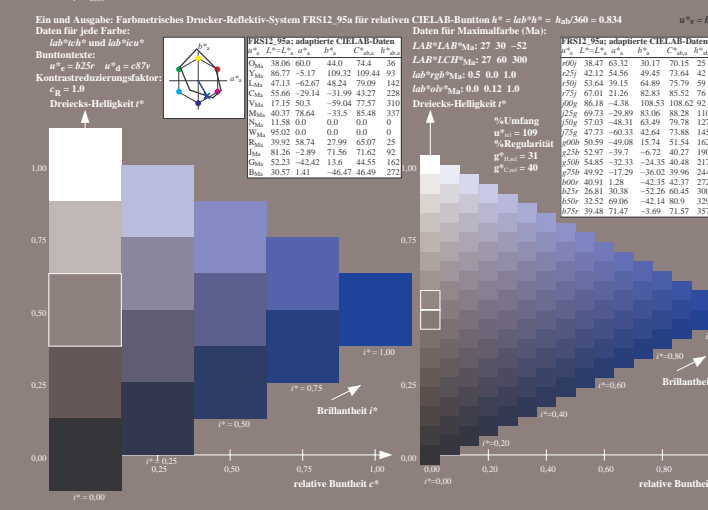
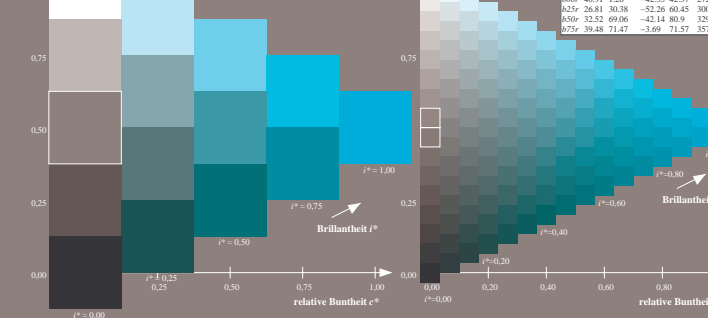
Ein und Ausgabe: Farbmetrisches Drucker-Reflaktiv-System FRS12_95a für relatives CIELAB-Buntton $h^* = lab^*h^* = h_{ab}/360 = 0.451$ $u^* = g/60b$
 Daten für jede Farbe:
 lab^*ch^* und lab^*ic^*
 Bunttonstexte:
 $u^* = g/60b$ $u^*g = 122a$
 Kontrastreduzierungsfaktor:
 $c_R = 1.0$
 Dreiecks-Helligkeit h^*



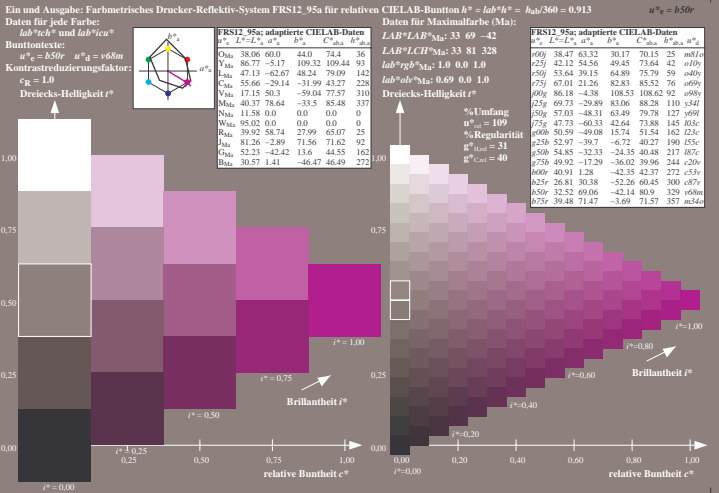
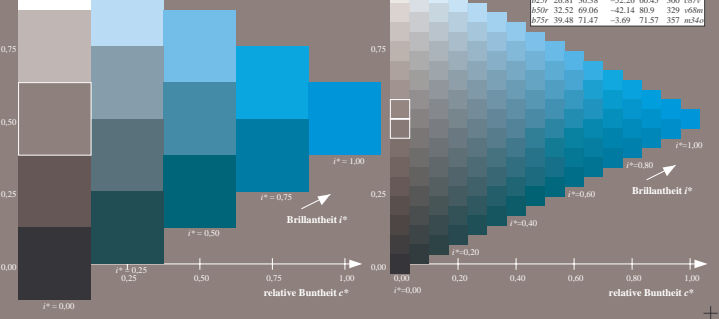
Ein und Ausgabe: Farbmetrisches Drucker-Reflaktiv-System FRS12_95a für relatives CIELAB-Buntton $h^* = lab^*h^* = h_{ab}/360 = 0.527$ $u^* = g/25b$
 Daten für jede Farbe:
 lab^*ch^* und lab^*ic^*
 Bunttonstexte:
 $u^* = g/25b$ $u^*g = 155a$
 Kontrastreduzierungsfaktor:
 $c_R = 1.0$
 Dreiecks-Helligkeit h^*



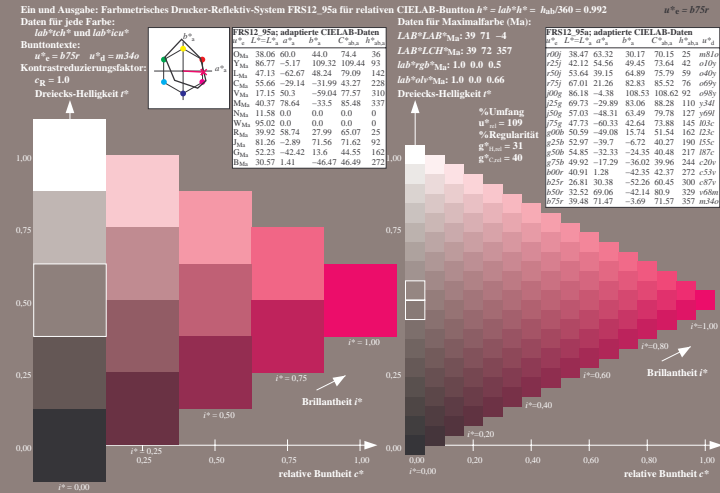
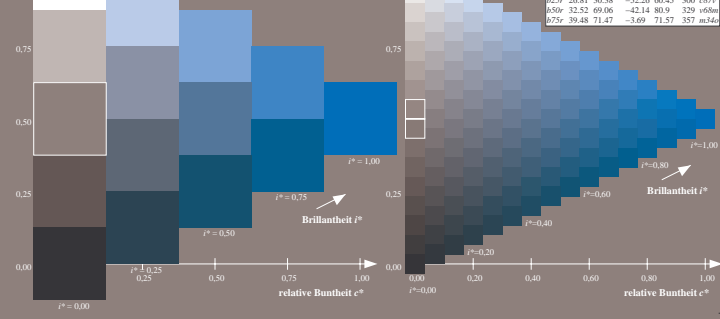
Ein und Ausgabe: Farbmetrisches Drucker-Reflaktiv-System FRS12_95a für relatives CIELAB-Buntton $h^* = lab^*h^* = h_{ab}/360 = 0.603$ $u^* = g/25b$
 Daten für jede Farbe:
 lab^*ch^* und lab^*ic^*
 Bunttonstexte:
 $u^* = g/25b$ $u^*g = 187a$
 Kontrastreduzierungsfaktor:
 $c_R = 1.0$
 Dreiecks-Helligkeit h^*



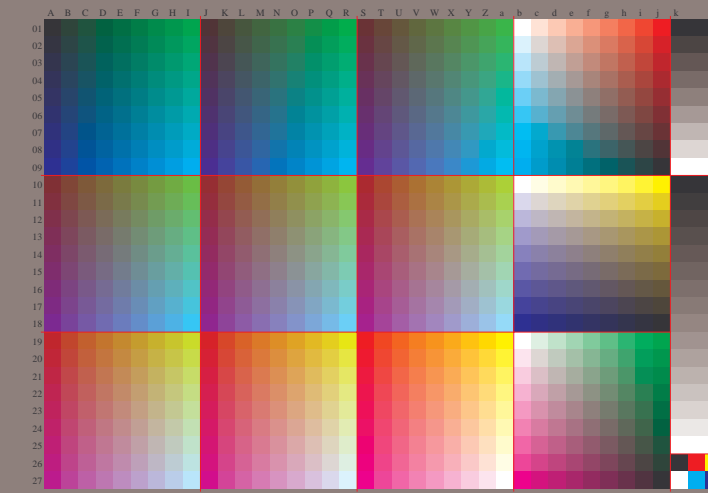
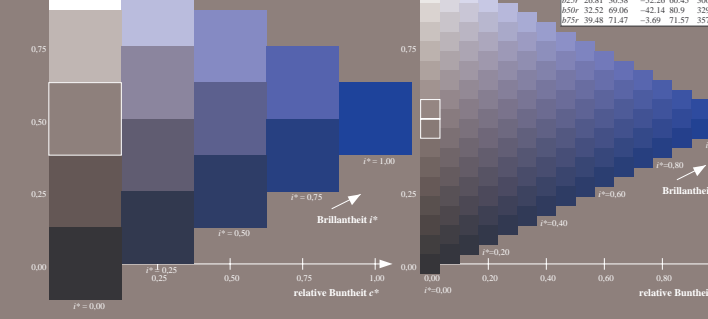
Ein und Ausgabe: Farbmetrisches Drucker-Reflaktiv-System FRS12_95a für relatives CIELAB-Buntton $h^* = lab^*h^* = h_{ab}/360 = 0.679$ $u^* = g/25b$
 Daten für jede Farbe:
 lab^*ch^* und lab^*ic^*
 Bunttonstexte:
 $u^* = g/25b$ $u^*g = 220a$
 Kontrastreduzierungsfaktor:
 $c_R = 1.0$
 Dreiecks-Helligkeit h^*



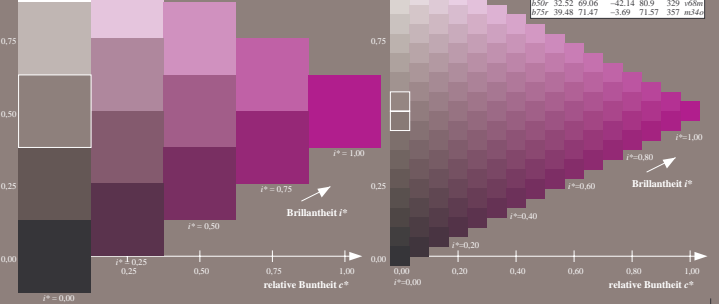
Ein und Ausgabe: Farbmetrisches Drucker-Reflaktiv-System FRS12_95a für relatives CIELAB-Buntton $h^* = lab^*h^* = h_{ab}/360 = 0.755$ $u^* = g/20b$
 Daten für jede Farbe:
 lab^*ch^* und lab^*ic^*
 Bunttonstexte:
 $u^* = g/20b$ $u^*g = 253a$
 Kontrastreduzierungsfaktor:
 $c_R = 1.0$
 Dreiecks-Helligkeit h^*



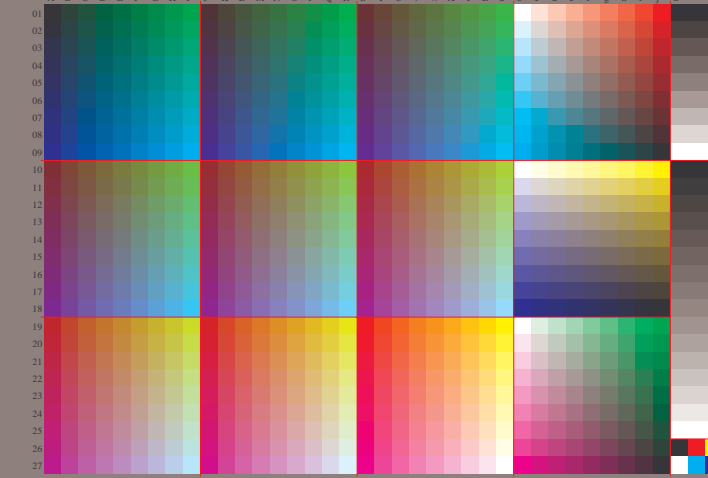
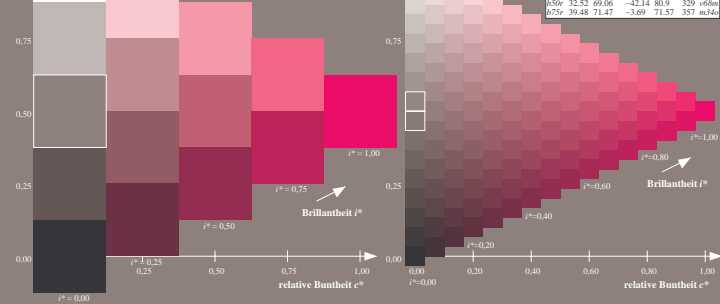
Ein und Ausgabe: Farbmetrisches Drucker-Reflaktiv-System FRS12_95a für relatives CIELAB-Buntton $h^* = lab^*h^* = h_{ab}/360 = 0.834$ $u^* = g/20b$
 Daten für jede Farbe:
 lab^*ch^* und lab^*ic^*
 Bunttonstexte:
 $u^* = g/20b$ $u^*g = 287a$
 Kontrastreduzierungsfaktor:
 $c_R = 1.0$
 Dreiecks-Helligkeit h^*



Ein und Ausgabe: Farbmetrisches Drucker-Reflaktiv-System FRS12_95a für relatives CIELAB-Buntton $h^* = lab^*h^* = h_{ab}/360 = 0.913$ $u^* = g/15b$
 Daten für jede Farbe:
 lab^*ch^* und lab^*ic^*
 Bunttonstexte:
 $u^* = g/15b$ $u^*g = 168a$
 Kontrastreduzierungsfaktor:
 $c_R = 1.0$
 Dreiecks-Helligkeit h^*



Ein und Ausgabe: Farbmetrisches Drucker-Reflaktiv-System FRS12_95a für relatives CIELAB-Buntton $h^* = lab^*h^* = h_{ab}/360 = 0.992$ $u^* = g/15b$
 Daten für jede Farbe:
 lab^*ch^* und lab^*ic^*
 Bunttonstexte:
 $u^* = g/15b$ $u^*g = 240a$
 Kontrastreduzierungsfaktor:
 $c_R = 1.0$
 Dreiecks-Helligkeit h^*



Ein und Ausgabe: Farbmetrisches Drucker-Reflaktiv-System FRS12_95a für relatives CIELAB-Buntton $h^* = lab^*h^* = h_{30}/360 = 0.451$ $u^*_c = g^*00b$

Daten für jede Farbe:
 lab^*ch^* und lab^*cu^*
 Bunttonstexte:
 $u^*_c = g^*00b$ $u^*_a = 12z$
 Kontrastreduzierungsfaktor:
 $c_R = 1.0$
 Dreiecks-Helligkeit l^*

FRS12_95a; adaptierte CIELAB-Daten
 L^* a^* b^* C_{10} C_{50} h^*_{30} u^*_c u^*_a
 Lab*/LAB*/M1a: 41.0 74.4 36
 Lab*/LCH*/M1a: 51 52 162
 Lab*/rgb*/M1a: 0.0 1.0 0.0
 Lab*/ab*/M1a: 0.0 1.0 0.0
 M1a: 40.37 78.64 -33.5 85.48 337
 M1b: 11.58 0.0 0.0 0.0 0
 M1c: 95.02 0.0 0.0 0.0 0
 M1d: 39.92 58.74 27.99 65.07 25
 M1e: 81.26 -2.89 71.56 71.62 92
 M1f: 52.23 -42.42 13.6 44.55 162
 M1g: 30.57 1.41 -46.47 46.49 272

Daten für Maximalfarbe (Ma):
 Lab*/LAB*/M2a: 51 -49 -16
 Lab*/LCH*/M2a: 51 52 162
 Lab*/rgb*/M2a: 0.0 1.0 0.0
 Lab*/ab*/M2a: 0.0 1.0 0.0
 M2a: 40.37 78.64 -33.5 85.48 337
 M2b: 11.58 0.0 0.0 0.0 0
 M2c: 95.02 0.0 0.0 0.0 0
 M2d: 39.92 58.74 27.99 65.07 25
 M2e: 81.26 -2.89 71.56 71.62 92
 M2f: 52.23 -42.42 13.6 44.55 162
 M2g: 30.57 1.41 -46.47 46.49 272

Dreiecks-Helligkeit l^*
 %Umfang $u^*_i = 109$
 %Regulartität $g^*_i = 31$
 $g^*_{i,crit} = 40$

Ein und Ausgabe: Farbmetrisches Drucker-Reflaktiv-System FRS12_95a für relatives CIELAB-Buntton $h^* = lab^*h^* = h_{30}/360 = 0.527$ $u^*_c = g^*25b$

Daten für jede Farbe:
 lab^*ch^* und lab^*cu^*
 Bunttonstexte:
 $u^*_c = g^*25b$ $u^*_a = 15z$
 Kontrastreduzierungsfaktor:
 $c_R = 1.0$
 Dreiecks-Helligkeit l^*

FRS12_95a; adaptierte CIELAB-Daten
 L^* a^* b^* C_{10} C_{50} h^*_{30} u^*_c u^*_a
 Lab*/LAB*/M1a: 53 -40 -7
 Lab*/LCH*/M1a: 53 40 189
 Lab*/rgb*/M1a: 0.0 1.0 0.5
 Lab*/ab*/M1a: 0.0 1.0 0.5
 M1a: 40.37 78.64 -33.5 85.48 337
 M1b: 11.58 0.0 0.0 0.0 0
 M1c: 95.02 0.0 0.0 0.0 0
 M1d: 39.92 58.74 27.99 65.07 25
 M1e: 81.26 -2.89 71.56 71.62 92
 M1f: 52.23 -42.42 13.6 44.55 162
 M1g: 30.57 1.41 -46.47 46.49 272

Daten für Maximalfarbe (Ma):
 Lab*/LAB*/M2a: 53 -40 -7
 Lab*/LCH*/M2a: 53 40 189
 Lab*/rgb*/M2a: 0.0 1.0 0.5
 Lab*/ab*/M2a: 0.0 1.0 0.5
 M2a: 40.37 78.64 -33.5 85.48 337
 M2b: 11.58 0.0 0.0 0.0 0
 M2c: 95.02 0.0 0.0 0.0 0
 M2d: 39.92 58.74 27.99 65.07 25
 M2e: 81.26 -2.89 71.56 71.62 92
 M2f: 52.23 -42.42 13.6 44.55 162
 M2g: 30.57 1.41 -46.47 46.49 272

Dreiecks-Helligkeit l^*
 %Umfang $u^*_i = 109$
 %Regulartität $g^*_i = 31$
 $g^*_{i,crit} = 40$

Ein und Ausgabe: Farbmetrisches Drucker-Reflaktiv-System FRS12_95a für relatives CIELAB-Buntton $h^* = lab^*h^* = h_{30}/360 = 0.603$ $u^*_c = g^*50b$

Daten für jede Farbe:
 lab^*ch^* und lab^*cu^*
 Bunttonstexte:
 $u^*_c = g^*50b$ $u^*_a = 18z$
 Kontrastreduzierungsfaktor:
 $c_R = 1.0$
 Dreiecks-Helligkeit l^*

FRS12_95a; adaptierte CIELAB-Daten
 L^* a^* b^* C_{10} C_{50} h^*_{30} u^*_c u^*_a
 Lab*/LAB*/M1a: 55 -32 -4
 Lab*/LCH*/M1a: 55 40 216
 Lab*/rgb*/M1a: 0.0 1.0 0.87
 Lab*/ab*/M1a: 0.0 1.0 0.87
 M1a: 40.37 78.64 -33.5 85.48 337
 M1b: 11.58 0.0 0.0 0.0 0
 M1c: 95.02 0.0 0.0 0.0 0
 M1d: 39.92 58.74 27.99 65.07 25
 M1e: 81.26 -2.89 71.56 71.62 92
 M1f: 52.23 -42.42 13.6 44.55 162
 M1g: 30.57 1.41 -46.47 46.49 272

Daten für Maximalfarbe (Ma):
 Lab*/LAB*/M2a: 55 -32 -4
 Lab*/LCH*/M2a: 55 40 216
 Lab*/rgb*/M2a: 0.0 1.0 0.87
 Lab*/ab*/M2a: 0.0 1.0 0.87
 M2a: 40.37 78.64 -33.5 85.48 337
 M2b: 11.58 0.0 0.0 0.0 0
 M2c: 95.02 0.0 0.0 0.0 0
 M2d: 39.92 58.74 27.99 65.07 25
 M2e: 81.26 -2.89 71.56 71.62 92
 M2f: 52.23 -42.42 13.6 44.55 162
 M2g: 30.57 1.41 -46.47 46.49 272

Dreiecks-Helligkeit l^*
 %Umfang $u^*_i = 109$
 %Regulartität $g^*_i = 31$
 $g^*_{i,crit} = 40$

Ein und Ausgabe: Farbmetrisches Drucker-Reflaktiv-System FRS12_95a für relatives CIELAB-Buntton $h^* = lab^*h^* = h_{30}/360 = 0.679$ $u^*_c = g^*75b$

Daten für jede Farbe:
 lab^*ch^* und lab^*cu^*
 Bunttonstexte:
 $u^*_c = g^*75b$ $u^*_a = 20z$
 Kontrastreduzierungsfaktor:
 $c_R = 1.0$
 Dreiecks-Helligkeit l^*

FRS12_95a; adaptierte CIELAB-Daten
 L^* a^* b^* C_{10} C_{50} h^*_{30} u^*_c u^*_a
 Lab*/LAB*/M1a: 50 -17 -36
 Lab*/LCH*/M1a: 50 40 244
 Lab*/rgb*/M1a: 0.0 0.8 1.0
 Lab*/ab*/M1a: 0.0 0.8 1.0
 M1a: 40.37 78.64 -33.5 85.48 337
 M1b: 11.58 0.0 0.0 0.0 0
 M1c: 95.02 0.0 0.0 0.0 0
 M1d: 39.92 58.74 27.99 65.07 25
 M1e: 81.26 -2.89 71.56 71.62 92
 M1f: 52.23 -42.42 13.6 44.55 162
 M1g: 30.57 1.41 -46.47 46.49 272

Daten für Maximalfarbe (Ma):
 Lab*/LAB*/M2a: 50 -17 -36
 Lab*/LCH*/M2a: 50 40 244
 Lab*/rgb*/M2a: 0.0 0.8 1.0
 Lab*/ab*/M2a: 0.0 0.8 1.0
 M2a: 40.37 78.64 -33.5 85.48 337
 M2b: 11.58 0.0 0.0 0.0 0
 M2c: 95.02 0.0 0.0 0.0 0
 M2d: 39.92 58.74 27.99 65.07 25
 M2e: 81.26 -2.89 71.56 71.62 92
 M2f: 52.23 -42.42 13.6 44.55 162
 M2g: 30.57 1.41 -46.47 46.49 272

Dreiecks-Helligkeit l^*
 %Umfang $u^*_i = 109$
 %Regulartität $g^*_i = 31$
 $g^*_{i,crit} = 40$

Ein und Ausgabe: Farbmetrisches Drucker-Reflaktiv-System FRS12_95a für relatives CIELAB-Buntton $h^* = lab^*h^* = h_{30}/360 = 0.755$ $u^*_c = b^*00r$

Daten für jede Farbe:
 lab^*ch^* und lab^*cu^*
 Bunttonstexte:
 $u^*_c = b^*00r$ $u^*_a = c^*53z$
 Kontrastreduzierungsfaktor:
 $c_R = 1.0$
 Dreiecks-Helligkeit l^*

FRS12_95a; adaptierte CIELAB-Daten
 L^* a^* b^* C_{10} C_{50} h^*_{30} u^*_c u^*_a
 Lab*/LAB*/M1a: 41 -42 -271
 Lab*/LCH*/M1a: 41 42 271
 Lab*/rgb*/M1a: 0.0 0.0 1.0
 Lab*/ab*/M1a: 0.0 0.47 1.0
 M1a: 40.37 78.64 -33.5 85.48 337
 M1b: 11.58 0.0 0.0 0.0 0
 M1c: 95.02 0.0 0.0 0.0 0
 M1d: 39.92 58.74 27.99 65.07 25
 M1e: 81.26 -2.89 71.56 71.62 92
 M1f: 52.23 -42.42 13.6 44.55 162
 M1g: 30.57 1.41 -46.47 46.49 272

Daten für Maximalfarbe (Ma):
 Lab*/LAB*/M2a: 41 -42 -271
 Lab*/LCH*/M2a: 41 42 271
 Lab*/rgb*/M2a: 0.0 0.0 1.0
 Lab*/ab*/M2a: 0.0 0.47 1.0
 M2a: 40.37 78.64 -33.5 85.48 337
 M2b: 11.58 0.0 0.0 0.0 0
 M2c: 95.02 0.0 0.0 0.0 0
 M2d: 39.92 58.74 27.99 65.07 25
 M2e: 81.26 -2.89 71.56 71.62 92
 M2f: 52.23 -42.42 13.6 44.55 162
 M2g: 30.57 1.41 -46.47 46.49 272

Dreiecks-Helligkeit l^*
 %Umfang $u^*_i = 109$
 %Regulartität $g^*_i = 31$
 $g^*_{i,crit} = 40$

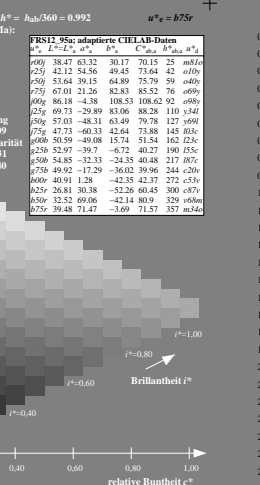
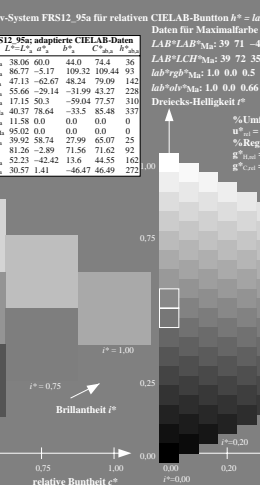
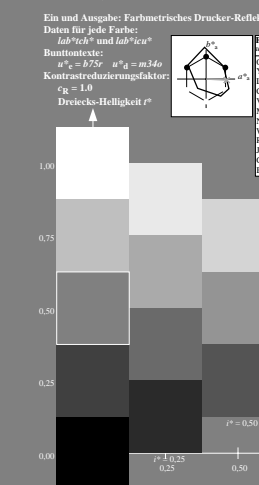
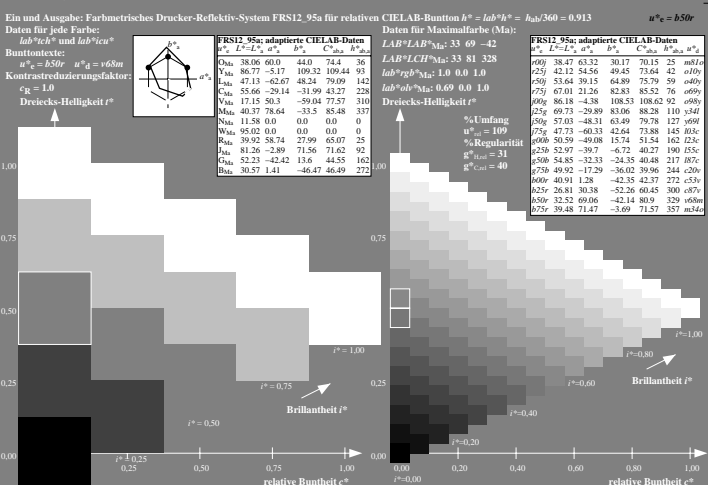
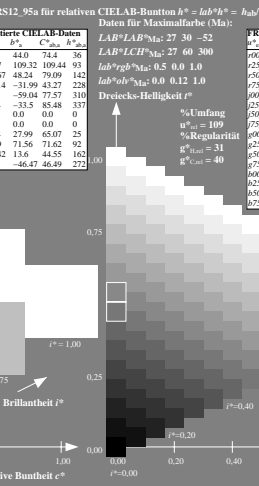
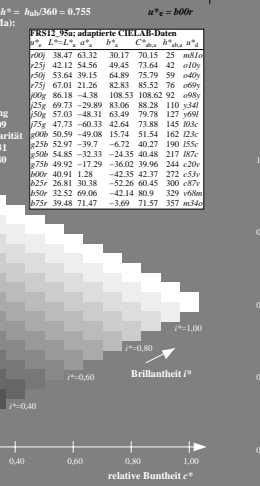
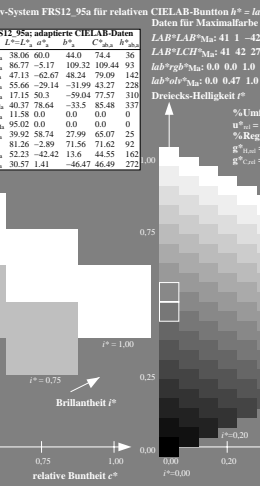
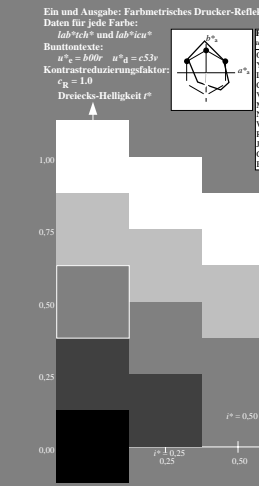
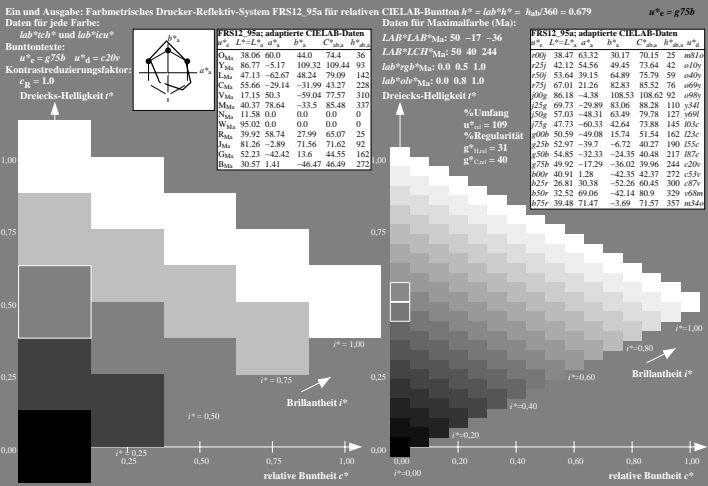
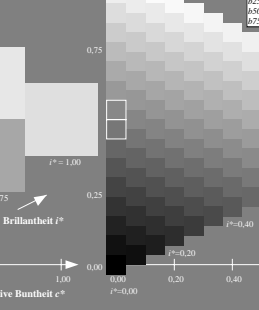
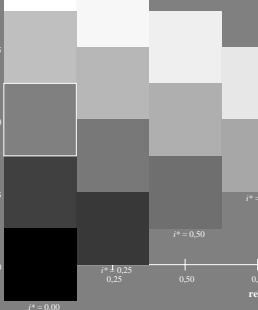
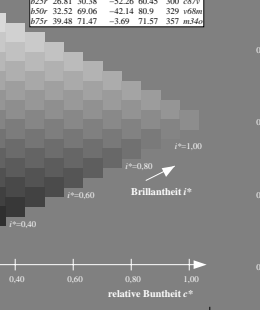
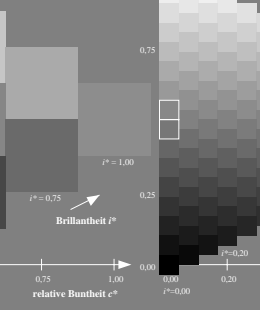
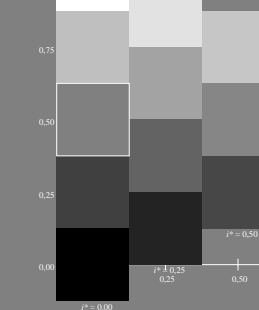
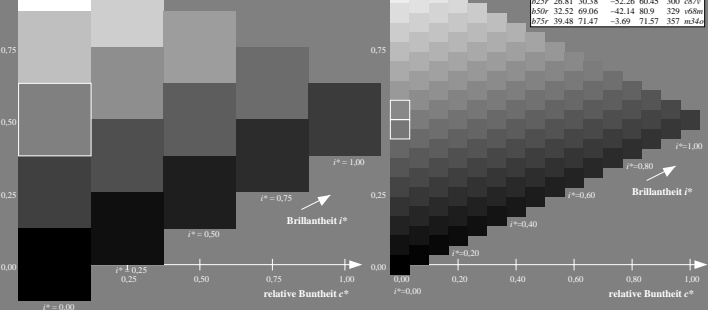
Ein und Ausgabe: Farbmetrisches Drucker-Reflaktiv-System FRS12_95a für relatives CIELAB-Buntton $h^* = lab^*h^* = h_{30}/360 = 0.834$ $u^*_c = b^*25r$

Daten für jede Farbe:
 lab^*ch^* und lab^*cu^*
 Bunttonstexte:
 $u^*_c = b^*25r$ $u^*_a = c^*87z$
 Kontrastreduzierungsfaktor:
 $c_R = 1.0$
 Dreiecks-Helligkeit l^*

FRS12_95a; adaptierte CIELAB-Daten
 L^* a^* b^* C_{10} C_{50} h^*_{30} u^*_c u^*_a
 Lab*/LAB*/M1a: 27 -30 -52
 Lab*/LCH*/M1a: 27 30 500
 Lab*/rgb*/M1a: 0.5 0.0 1.0
 Lab*/ab*/M1a: 0.0 1.2 1.0
 M1a: 40.37 78.64 -33.5 85.48 337
 M1b: 11.58 0.0 0.0 0.0 0
 M1c: 95.02 0.0 0.0 0.0 0
 M1d: 39.92 58.74 27.99 65.07 25
 M1e: 81.26 -2.89 71.56 71.62 92
 M1f: 52.23 -42.42 13.6 44.55 162
 M1g: 30.57 1.41 -46.47 46.49 272

Daten für Maximalfarbe (Ma):
 Lab*/LAB*/M2a: 27 -30 -52
 Lab*/LCH*/M2a: 27 30 500
 Lab*/rgb*/M2a: 0.5 0.0 1.0
 Lab*/ab*/M2a: 0.0 1.2 1.0
 M2a: 40.37 78.64 -33.5 85.48 337
 M2b: 11.58 0.0 0.0 0.0 0
 M2c: 95.02 0.0 0.0 0.0 0
 M2d: 39.92 58.74 27.99 65.07 25
 M2e: 81.26 -2.89 71.56 71.62 92
 M2f: 52.23 -42.42 13.6 44.55 162
 M2g: 30.57 1.41 -46.47 46.49 272

Dreiecks-Helligkeit l^*
 %Umfang $u^*_i = 109$
 %Regulartität $g^*_i = 31$
 $g^*_{i,crit} = 40$



Schwarz—Separation leer

